

УДК 519.68

Роль графовых структур в теории локальных элиминационных алгоритмов¹

О.А. Щербина

University of Vienna,

Vienna 1090, Austria. E-mail: oleg.shcherbina@univie.ac.at

Аннотация. Рассмотрено использование различных графовых структур в теории локальных элиминационных алгоритмов (ЛЭА) для решения дискретных задач, в том числе элиминационных графов и элиминационных деревьев. Показано, что бесконтурный орграф вычислительной процедуры ЛЭА является элиминационным деревом. Обсуждаются возможности построения древовидной декомпозиции на основе элиминационного дерева, а также представление элиминационного процесса с помощью множеств достижимости.

1. Введение

Для решения ряда разреженных дискретных задач, возникающих в самых разных областях приложений (в том числе задач искусственного интеллекта и дискретной оптимизации [8]), содержащих огромное число переменных и/или ограничений, что создает сложности при попытке решения этих задач с помощью современных решателей, могут быть использованы графовые декомпозиционные методы [26]. Возросший интерес к этим методам обусловлен результатами COURCELLE [22], ARNBORG et al. [17], доказавших, что ряд NP -трудных задач, поставленных в монадической логике второго порядка, могут быть решены за полиномиальное время с помощью методов динамического программирования на графах (описывающих структуру задачи) с ограниченной древовидной шириной.

К графовым декомпозиционным подходам относится класс локальных элиминационных алгоритмов (ЛЭА) вычисления информации [11], включающий локальные алгоритмы декомпозиции [4], [9], алгоритмы несериального динамического программирования (НСДП) ([19], [10], алгоритмы сегментной элиминации [23], методы древовидной декомпозиции [12], [26].

Применение ЛЭА для решения задач дискретной оптимизации (ДО) рассмотрено в [10]. В [13] показано, что ЛЭА может быть использован и для решения неоптимизационных задач (задач удовлетворения ограничений), которые можно

¹Работа выполнена при финансовой поддержке австрийского фонда FWF, грант No. P17948-N13

разбить на подзадачи и использовать полученные решения меньших подзадач при решении больших. Связь НСДП с локальными алгоритмами ([4], [9], [10]) обусловлена тем, что, как и локальные алгоритмы, НСДП решает задачи, преобразуя локальную информацию в глобальную. Одной из общих для этих методов графовых интерпретаций является **элиминационная игра** (PARTER [28]).

В [15] предложен общий класс локальных элиминационных алгоритмов вычисления информации для решения дискретных разреженных задач, позволяющих осуществлять вычисление **глобальной информации** о решении задачи с помощью **локальных вычислений** на основе анализа окрестностей элементов задачи.

В настоящей статье анализируются возможности графовых структур в теории локальных элиминационных алгоритмов, показано, что бесконтурным оргграфом вычислительной процедуры ЛЭА является **элиминационное дерево**, предложенное ранее в работе [27] для описания процесса элиминации переменных при решении разреженных систем линейных уравнений.

1.1. Основные понятия

Рассмотрим задачу ДО

$$F(x_1, x_2, \dots, x_n) = \sum_{k \in K} f_k(Y^k) \rightarrow \max \quad (1.1)$$

при ограничениях

$$g_i(X^i) R_i 0, \quad i \in M = \{1, 2, \dots, m\}, \quad (1.2)$$

$$x_j \in D_j, \quad j \in \{1, \dots, n\}, \quad (1.3)$$

где

$$Y^k \subseteq \{x_1, x_2, \dots, x_n\}, \quad k \in K = \{1, 2, \dots, t\}; \quad (1.4)$$

$$X^i \subseteq X = \{x_1, x_2, \dots, x_n\}, \quad R_i \in \{\leq, =, \geq\}, \quad i \in M = \{1, 2, \dots, m\}; \quad (1.5)$$

$$D_j — \text{дискретное множество значений переменной } x_j, \quad j = 1, \dots, n. \quad (1.6)$$

Определение 1. ([19], [10]) Две переменные x и y взаимосвязаны в задаче ДО с ограничениями, если они появляются вместе в одном компоненте целевой функции (ЦФ) или в одном и том же ограничении (другими словами, если переменные x , y входят одновременно во множество X^i или во множество Y^k).

Определение 2. Графом взаимосвязей [19] задачи ДО называется неориентированный граф $G = (X, E)$, для которого

1. множество вершин X соответствует множеству переменных X задачи ДО;
2. две вершины x , y графа G соединены ребром (x, y) тогда и только тогда, когда соответствующие им переменные взаимосвязаны.

В дальнейшем будем отождествлять переменные задачи ДО с вершинами графа взаимосвязей. Ниже под графом будем подразумевать неориентированный граф, если не оговорено другое.

Ориентированный граф (орграф) [3] будем обозначать ниже в виде $\vec{G} = (X, \vec{E})$, где X — конечное множество вершин, \vec{E} — множество дуг (ориентированных ребер), $\vec{E} \subseteq X^2$.

Определение 3. Стягивающее дерево — для данного неориентированного графа суграф (т.е. часть графа, имеющая то же множество вершин, что и сам граф [2]) в виде дерева.

Определение 4. Корневое дерево — это дерево $T = (X, E)$ с выделенной вершиной r , называемой **корнем** T .

Корневое дерево полностью описывается отношением «предок–потомок». При этом, если $(r, s), \dots, (x, y)$ — путь от корня r в вершину y , то x называют **предком** вершины y .

Основным понятием в теории локальных алгоритмов является понятие **близости элементов**, определяемое понятием **окрестности**.

Определение 5. Две вершины x и y в графе $G = (X, E)$ называются **соседними** или **смежными**, если $(x, y) \in E$.

Определение 6. ([3]) **Клика** - подмножество вершин X' графа G , в котором любые две вершины смежны, т.е. порожденный им подграф $G(X')$ является полным.

Определение 7. Множество вершин, соседних с вершиной $x \in X$ в графе $G = (X, E)$, обозначается $Nb_G(x)$ (или $Nb(x)$) и называется **окрестностью** вершины x .

Определение 8. ([1]) **Транзитивное замыкание орграфа** (Transitive closure of a directed graph) — для данного орграфа \vec{G} орграф \vec{G}^* с тем же множеством вершин, что и \vec{G} , в котором дуга (v, w) существует тогда и только тогда, когда w достижима из v в \vec{G} .

Определение 9. ([7]) **Транзитивная редукция орграфа** (Transitive reduction of a directed graph) — для данного орграфа \vec{G} орграф с наименьшим числом дуг, транзитивное замыкание которого совпадает (изоморфно) с транзитивным замыканием исходного графа \vec{G} .

Таким образом, если в орграфе G имеется ориентированный путь из вершины x в вершину y с длиной, большей 1, то имеющееся ориентированное ребро x, y может быть удалено. Удаление всех таких ребер из орграфа позволяет получить его транзитивную редукцию.

Поиск в глубину. Идея поиска в глубину (DFS — depth first search) [30] — одного из основных графовых алгоритмов — состоит в следующем. Поиск начинается с некоторой фиксированной вершины v_0 . Затем выбирается произвольная вершина u , соседняя с v_0 , и повторяется поиск соседней с u вершины. В общем случае предположим, что мы находимся в вершине v . Если существует новая, еще не просмотренная, вершина u , $u \in Nb(v)$, рассматриваем ее (помечаем ее как просмотренную) и, начиная с нее, продолжаем поиск. Если же не существует ни одной новой вершины, соседней с v , то говорим, что вершина v **использована**, возвращаемся в вершину, из которой мы попали в v , и продолжаем процесс (если $v = v_0$, то поиск закончен). Таким образом, поиск в глубину из вершины v основан на поиске в глубину из всех новых вершин, соседних с v .

2. Локальные элиминационные алгоритмы вычисления информации

2.1. О локальных алгоритмах

Использование локальной информации [4], [5] при изучении сложных дискретных систем, при разработке методов декомпозиции для решения больших разреженных дискретных задач является перспективным подходом, причем упомянутые задачи принадлежат как области дискретной оптимизации [6], [8], так и области искусственного интеллекта [23], информатики [18], линейной алгебры (здесь разработаны мультифронтальные методы решения разреженных систем линейных уравнений [29], имеющие декомпозиционный характер).

При изучении сложных объектов не всегда возможно получить (или вычислить) глобальную информацию об объекте в целом, поэтому представляет интерес получение глобальной информации об объекте, используя локальные вычисления для частей объекта.

Локальный алгоритм (ЛА) вычисления информации [4] изучает элементы в порядке, задаваемом алгоритмом упорядочения A_π , используя при этом локальную информацию об элементах из окрестности [5] данного элемента. При этом производится вычисление функции φ , значение которой на каждом шаге алгоритма будет определять вид отметки, выставляемой на этом шаге.

ЛА декомпозиции [9], [10], [11], [12] задач ДО имеют свою специфику, состоящую в том, что они вычисляют не предикаты, а, используя принцип оптимальности Беллмана, находят оптимальные решения подзадач, соответствующих блокам задачи ДО. Шаг ЛА декомпозиции \mathcal{A} заключается в переходе от окрестности S_p к окрестности S_{p+1} , на каждом шаге алгоритма для каждого фиксированного набора переменных граничного кольца запоминаются значения переменных соответствующей окрестности, причем запоминается информация не о предикатах, а о значениях переменных в решениях подзадач; такую информацию Ю.И. ЖУРАВЛЕВ предложил называть **индикаторной информацией**.

Важной особенностью локальных алгоритмов является вычисление и использование именно **локальной информации** (т. е. информации об элементах окрестностей [5] элементов) при решении разреженных дискретных задач, поэтому локальные элиминационные алгоритмы (ЛЭА) вычисления информации позволяют осуществлять вычисление глобальной информации о решении всей задачи с помощью локальных вычислений (обычно решений подзадач), используя структуру задачи.

Структура дискретной задачи оптимизации задается структурным графом, и может быть задана как исходными элементами (переменными) задачи с заданием системы окрестностей [5] этих переменных, графа взаимосвязей и порядка просмотра этих переменных с помощью ЛЭА, так и различными производными структурами — блочными [11, 19], блочно-древовидными [12], задаваемыми так называемым структурным конденсированным графом, в котором вершинами являются подмножества переменных задачи.

ЛЭА вычисляет информацию о локальных элементах структуры дискретной задачи оптимизации, задаваемой структурным графом, записывая вычисленную локальную информацию об этих элементах в виде новых компонентов целевой функции, добавляемых к задаче, элиминируя затем просмотренные элементы и использованные ограничения.

Процедура ЛЭА состоит из двух частей:

- **прямая часть** — выделение локальных элементов и их окрестностей в текущем структурном графе и соответствующих им подзадач, вычисление и запоминание локальной информации в виде новых компонентов целевой функции, добавляемых к задаче, а также запоминание таблиц с локальными решениями, элиминация просмотренных локальных элементов и использованных ограничений, соответствующее изменение структурного графа, получение оптимального значения целевой функции;
- **обратная часть** — нахождение глобального решения исходной дискретной задачи оптимизации, обеспечивающего достижение оптимального значения целевой функции по найденным в прямой части таблицам с локальными решениями.

Алгоритмическая схема ЛЭА представляет собой бесконтурный оргграф, вершины которого соответствуют локальным подзадачам, а ребра — выражают информационную зависимость подзадач друг от друга. Знание алгоритмической схемы позволяет оценить вычислительную сложность ЛЭА, а также организовать распараллеливание вычислительного процесса.

Поскольку ЛЭА относится к алгоритмам динамического программирования (ДП), рассмотрим задание его вычислительной процедуры в виде множества взаимозависимых подзадач, результаты решения которых используются при решении больших подзадач, пока вся задача не будет решена. Зависимости между подзадачами в процедуре ЛЭА может быть представлена в виде **бесконтурного оргграфа**, причем зачастую этот оргграф задан неявно [14]. Вершины оргграфа, лежащего

в основе алгоритмической схемы ЛЭА, соответствуют подзадачам, которые необходимо решить, а дуги орграфа — отношениям предшествования подзадач. Если имеются вершины u_1, \dots, u_k , от которых стрелки указывают на v , то это означает: подзадача v может быть решена лишь после нахождения решений для подзадач u_1, \dots, u_k (рис. 1).

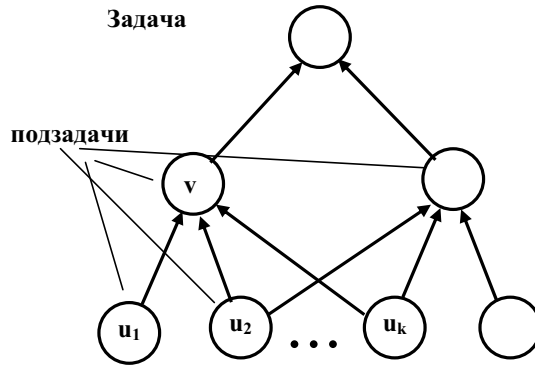


Рис. 1. Орграф подзадач вычислительной схемы ЛЭА.

Отметим, что в [14] анализируются бесконтурные орграфы для алгоритмов ДП решения различных дискретных задач.

2.2. Локальные алгоритмы элиминации переменных

Рассмотрим решение разреженной дискретной задачи оптимизации (1.1) – (1.4), структура которой описывается неориентированным графом взаимосвязей переменных $G = (X, E)$, с помощью локального алгоритма элиминации переменных. ЛА использует упорядочение вершин графа:

Определение 10. Упорядочением α вершин графа $G = (X, E)$ называется биекция (взаимно-однозначное отношение) $\alpha : X \leftrightarrow \{1, 2, \dots, n\}$, где $n = |X|$.

В дальнейшем с целью упрощения обозначений будем использовать упорядочение α для индексирования множества вершин X графа G , т.е. $\alpha(x_i) = i$ и i будет рассматриваться как индекс или метка вершины x_i . G_α и X_α обозначают соответственно упорядоченный граф и упорядоченное множество вершин.

Для данного упорядочения α вершин графа G в виде x_1, \dots, x_n через \mathcal{L}_i обозначим множество вершин с индексами из α , большими $i - 1$:

$$\mathcal{L}_i = \{x_i, x_{i+1}, \dots, x_n\}$$

Рассмотрим неориентированный граф $G = (X, E)$, упорядочение α вершин X и вершину $y \in X$.

Определение 11. ([20]). **Монотонной окрестностью** вершины x_i называется множество вершин, соседних с x_i , с индексами, большими, чем i (согласно упорядочению α):

$$\overline{Nb}_G^\alpha(x_i) = \{x_j \in Nb_G(x_i) | j > i\} = Nb_G(x_i) \cap \mathcal{L}_{i+1}.$$

Определение 12. ([28], [29]). Граф, полученный из графа $G = (X, E)$ с помощью

- удаления вершины x и всех ребер, исходящих из нее, и
- соединения ребрами всех ранее не соседних вершин в $Nb(x)$,

называется x -**элиминационным** графом графа G и обозначается G^x . Описанная операция называется **элиминацией** вершины x .

Для данного упорядочения x_1, x_2, \dots, x_n вершин графа работа ЛЭА состоит в последовательной элиминации вершин x_1, x_2, \dots, x_n в текущем графе, изменении графа и вычислении соответствующей локальной информации о вершинах $h_i(Nb(x_i))$ [15]. Этот процесс порождает последовательность графов:

$$G^0 = G, G^1, \dots, G^{j-1}, G^j, \dots, G^n,$$

так что G^j — x_j -элиминационный граф графа G^{j-1} , а G^n — пустой граф.

Возникает вопрос, зависит ли вид элиминационного графа от порядка прохождения вершин. Ответ дан в следующей теореме:

Теорема 1. ([19]) *Любой граф, полученный из $G = (X, E)$ с помощью поочередной элиминации всех вершин из некоторого подмножества $Y \subset X$, не зависит от порядка элиминации вершин.*

Процесс преобразования графа взаимосвязей переменных, соответствующий процедуре элиминации переменных с помощью локального алгоритма, известен как «**элиминационная игра**», которая впервые была введена ПАРТЕРОМ [28], как графовая интерпретация метода исключения Гаусса. Входом для алгоритма элиминационной игры является граф G и упорядочение α его вершин.

Алгоритм элиминационной игры состоит в следующем. Выбирается первая, согласно упорядочению α , вершина x , добавляются, если нужно, необходимые ребра, чтобы все вершины, соседние с x , образовывали клику. Затем удаляем вершину x из измененного графа и повторяем процесс, выбирая следующую вершину нового графа согласно упорядочению α . После прохождения всех вершин добавляем в исходном графе G все добавленные на каждом шаге ребра. Результатом этого алгоритма является пополненный граф $G_\alpha^+ = (V, E_\alpha^+)$, в котором, по сравнению с исходным графом G , добавлены ребра.

В дальнейшем нам потребуется следующая

Лемма 1. (ПАРТЕР [28]) $(x_i, x_j) \in E_\alpha^+ \Leftrightarrow (x_i, x_j) \in E$ или $(x_i, x_k) \in E_\alpha^+$ и $(x_k, x_j) \in E_\alpha^+$ для некоторого $k < \min(i, j)$.

Введем важное для локального алгоритма элиминации понятие **элиминационного дерева**, введенное ранее в линейной алгебре [27] при разработке алгоритмов решения разреженных систем линейных уравнений и адаптированное для наших целей.

Определение 13. Элиминационным деревом (ЭД) графа $G = (X, E)$ для упорядочения вершин α называется ориентированное дерево \vec{T}_α , имеющее то же множество вершин X , что и исходный граф G , а множество ребер ЭД определяется с помощью отношения «предок–потомок» следующим образом: предком вершины x является первая вершина (согласно упорядочению α) из монотонной окрестности $Nb_{G_\alpha^+}^\alpha(x)$ вершины x в пополненном графе G_α^+ .

Нетрудно видеть, что элиминационное дерево является орграфом вычислительной процедуры ЛЭА. Используя введенное в определении 13 отношение «предок–потомок», можно ввести понятие ориентированного пополненного графа \vec{G}_α^+ .

Свойства элиминационного дерева

Элиминационное дерево имеет то же самое множество вершин, что и граф G , поэтому является **стягивающим деревом** пополненного графа G_α^+ . Вершина x_n принимается в качестве корня элиминационного дерева. Структура элиминационного дерева может быть задана вектором $PARENT[j] = \min\{i > j | (x_i, x_j) \in E_\alpha^+\}$, описывающим отношение «предок–потомок».

Из определения вектора $PARENT$ следует

Предложение 1. ([27]) Если вершина x_i — непосредственный предок вершины x_j в элиминационном дереве, то $i > j$.

Элиминационное дерево обладает следующими свойствами:

Предложение 2. ([27]) Элиминационное дерево \vec{T}_α связного графа G является транзитивной редукцией ориентированного пополненного графа \vec{G}_α^+ .

Теорема 2. ([27]) Элиминационное дерево \vec{T}_α связного графа G является **деревом поиска в глубину** пополненного графа G_α^+ .

Доказательство. Рассмотрим упорядочение x_1, \dots, x_n вершин пополненного графа G_α^+ . Рассмотрим поиск в глубину, начиная с x_n , использующий следующее правило: при наличии нескольких вариантов выбора вершин для перехода из данной, всегда выбирается вершина с **наибольшим** индексом. Поскольку дерево поиска в глубину и элиминационное дерево являются стягивающими деревьями пополненного графа, достаточно показать, что каждое ребро дерева поиска в глубину является также ребром элиминационного дерева. Действительно, рассмотрим ребро (x_p, x_j) в дереве поиска в глубину; это значит, что во время поиска в глубину ребро (x_p, x_j) в пополненном графе ведет в вершину x_j . С помощью математической индукции по расстоянию d вершины x_p от корня x_n и леммы 1 несложно

показать, что $p > j$. Понятно, что $x_p \in \overline{Nb}_{G_+^\alpha}(x_j)$. Далее, методом доказательства от противного, можно показать, что $p = \min\{i \mid x_i \in \overline{Nb}_{G_+^\alpha}(x_j)\}$.

3. Булева задача SAT и ее решение с помощью ЛЭА

Проиллюстрируем введенные графовые структуры на примере задачи SAT (satisfiability) [25] (задачи проверки выполнимости формулы логики высказываний), имеющей важное прикладное значение, причем приложения находятся в области автоматического вывода, тестирования электронных схем, баз данных, проектирования компьютеров, анализа изображений, САПР и робототехники [25]. Именно с задачи SAT COOK в 1971 г. начал исследование задач на NP -полноту [21].

Булева задача SAT — это формула, состоящая из трех компонентов:

- множества n переменных: X_1, \dots, X_n .
- множества литералов (литерал — это переменная (X) или отрицание переменной (\bar{X})).
- множества m различных дизъюнктов: C_1, \dots, C_m , каждый из которых состоит из литералов, соединенных конъюнкцией (\wedge).

Цель задачи SAT состоит в установлении того, существуют ли логические значения $\{0,1\}$ переменных, которые делают конъюнктивную нормальную форму (КНФ) $C_1 \wedge \dots \wedge C_m$ истинной.

Задача SAT может рассматриваться как частный случай задачи удовлетворения ограничений, если рассматривать каждый дизъюнкт как ограничение. В [13] для решения этой задачи был использован оператор элиминации — **резольюция**, которая по двум дизъюнктам $(\alpha \vee Q)$ и $(\beta \vee \neg Q)$ выводит дизъюнкт $(\alpha \vee \beta)$, называемый **резольвентой**, в которой литерал Q элиминирован. Оператор элиминации (в данном случае — резольюция) порождает новые дизъюнкты, которым соответствуют новые ребра в графе взаимосвязей. Здесь мы будем использовать эквивалентную формулировку задачи SAT в виде задачи ДО без ограничений [25]:

$$\min_{x \in \{0,1\}^n} F(x) = \sum_{i=1}^m C_i(x),$$

где

$$C_i(x) = \prod_{j=1}^n Q_{ij}(x_j), \quad Q_{ij}(x_j) = \begin{cases} 1 - x_j, & \text{если } X_j \text{ входит в } C_i; \\ x_j, & \text{если } \bar{X}_j \text{ входит в } C_i; \\ 1, & \text{в противном случае.} \end{cases}$$

Здесь псевдобулевы значения $x_j = 1$ и $x_j = 0$ соответствуют булевым значениям **истина** и **ложь**.

Рассмотрим пример решения задачи SAT, заданной в виде КНФ, состоящей из 4 дизъюнктов:

$$(X_1 \vee X_2 \vee \bar{X}_3) \wedge (\bar{X}_2 \vee X_3 \vee X_4) \wedge (\bar{X}_2 \vee X_5) \wedge (\bar{X}_3 \vee X_6 \vee X_7). \quad (3.1)$$

Эквивалентная формулировка этой задачи SAT в виде задачи ДО без ограничений следующая:

$$F(x) = (1-x_1) \cdot (1-x_2) \cdot x_3 + x_2 \cdot (1-x_3) \cdot (1-x_4) + x_2 \cdot (1-x_5) + x_3 \cdot (1-x_6) \cdot (1-x_7) \rightarrow \min,$$

где $x_j = 0, 1$, $j = 1, \dots, 7$, причем исходная задача SAT имеет решение при $\min_{x \in \{0,1\}^7} F(x) = 0$.

Используем ЛА элиминации переменных для решения этой задачи ДО без ограничений, используя порядок элиминации $\{x_5, x_2, x_1, x_4, x_3, x_6, x_7\}$. Структура формулы описывается графом взаимосвязей — неориентированным графом, вершины которого соответствуют переменным, причем ребро соединяет две вершины, если соответствующие переменные входят в один и тот же компонент формулы. Элиминационные графы, соответствующие элиминационному процессу, показаны на рис. 2. Вначале элиминируем первую (согласно упорядочению α) переменную x_5 . $Nb(x_5) = \{x_2\}$. Решим следующую задачу ДО, используя полный перебор бинарных переменных из $Nb(x_5) = \{x_2\}$: $h_5(x_2) = \min_{x_5} \{x_2 \cdot (1-x_5) \mid x_2 = 0, 1\}$, и запомним оптимальное локальное решение x_5 как функцию $Nb(x_5)$, т.е. $x_5^*(x_2)$. В результате построим таблицу 1.

На следующем шаге элиминируем переменную x_2 . Найдем окрестность $Nb(x_2)$, используя граф взаимосвязей, показанный на рис. 2 б). $Nb(x_2) = \{x_1, x_3, x_4\}$. Рассмотрим задачу ДО, соответствующую элиминации переменной x_2 :

$$h_2(x_1, x_3, x_4) = \min_{x_2} \{h_5(x_2) + (1-x_1) \cdot (1-x_2) \cdot x_3 + x_2 \cdot (1-x_3) \cdot (1-x_4) \mid x_j = 0, 1, j = 1, \dots, 4\}.$$

Построим соответствующую таблицу 2.

Таблица 1.

Вычисление $h_5(x_2)$

x_2	h_5	x_5^*
0	0	0,1
1	0	0

Таблица 2.

Вычисление $h_2(x_1, x_3, x_4)$

x_1	x_3	x_4	h_2	x_2^*	x_1	x_3	x_4	h_2	x_2^*
0	0	0	0	0	1	0	0	0	0
0	0	1	0	0,1	1	0	1	0	0,1
0	1	0	0	1	1	1	0	0	0,1
0	1	1	0	1	1	1	1	0	0,1

Элиминируем x_1 . $Nb(x_1) = \{x_3, x_4\}$ (рис. 3 в)). Решим подзадачу:

$$h_1(x_3, x_4) = \min_{x_1} \{h_2(x_1, x_3, x_4) \mid x_j = 0, 1, j = 1, 3, 4\}.$$

Построим таблицу 3.

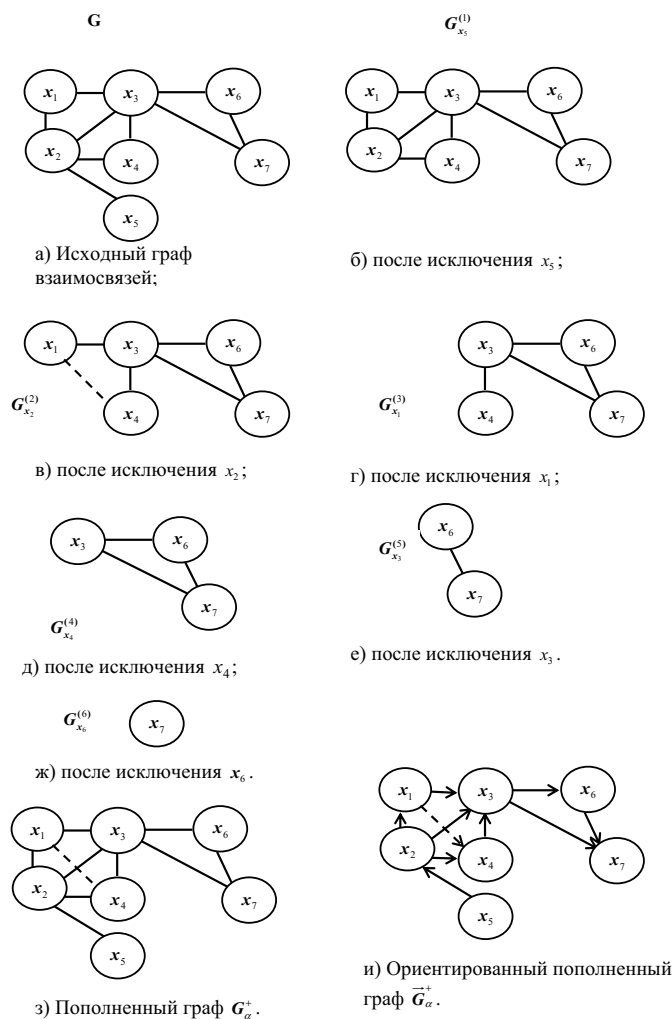


Рис. 2. Элиминационная игра. Пополнение показано пунктиром.

Элиминируем переменную x_4 . $Nb(x_4) = \{x_3\}$ (рис. 3 г)). Решим подзадачу:

$$h_4(x_3) = \min_{x_4} \{h_1(x_3, x_4) \mid x_j = 0, 1, j = 3, 4\}.$$

Построим таблицу 4. Элиминируем переменную x_3 . $Nb(x_3) = \{x_6, x_7\}$ (рис. 3 д)). Решим подзадачу:

$$h_3(x_6, x_7) = \min_{x_3} \{h_4(x_3) + x_3 \cdot (1 - x_6) \cdot (1 - x_7) \mid x_j = 0, 1, j = 3, 6, 7\}.$$

Построим таблицу 5.

Таблица 3.

Вычисление $h_3(x_6, x_7)$

x_3	x_4	h_1	x_1^*	x_3	x_4	h_1	x_1^*
0	0	0	0,1	1	0	0	0,1
0	1	0	0,1	1	1	0	0,1

Таблица 4.

Вычисление $h_4(x_3)$

x_3	h_4	x_4^*
0	0	(0,1)
1	0	(0,1)

Таблица 5.

Вычисление $h_3(x_6, x_7)$

x_6	x_7	h_3	x_3^*	x_6	x_7	h_3	x_3^*
0	0	0	0	1	0	0	0,1
0	1	0	0,1	1	1	0	0,1

Таблица 6.

Вычисление $h_6(x_7)$

x_7	h_6	x_6^*
0	0	(0,1)
1	0	(0,1)

Элиминируем x_6 . $Nb(x_6) = \{x_7\}$ (рис. 3 е)). Решим задачу

$$h_6(x_7) = \min_{x_6} \{h_3(x_6, x_7) \mid x_j = 0, 1, j = 6, 7\}.$$

Построим таблицу 6. Элиминируя x_7 , получим $h_7 = \min_{x_7} \{h_6(x_7)\} = 0$ для любого бинарного x_7 .

Итак, КНФ (3.1) истинна для некоторых значений переменных. Для нахождения решения необходимо выполнить обратную часть процедуры ЛЭА. Последовательно найдем $x_7, x_6, x_3, x_4, x_1, x_2, x_5$, т.е. оптимальные частичные (локальные) решения из сохраненных таблиц 6, 5, 4, 3, 2, 1. Так как решений очень много, перечислим лишь некоторые из них:

Таблица 7. Некоторые решения задачи SAT

x_5	x_2	x_1	x_4	x_3	x_6	x_7
0,1	0	0,1	0	0	0,1	0,1
0,1	0	0	1	0	0,1	0,1
1	1	0	1	1	0,1	1
1	1	0	1	1	1	0,1
1	1	0	1	0	0,1	0,1
1	1	1	0,1	1	0,1	1
0,1	0	1	0,1	1	0,1	1

Элиминационное дерево для рассматриваемой задачи приведено на рис.3 а).

Следует отметить, что ЛЭА является алгоритмом не только элиминации переменных, но и **вычисления информации**. На рис. 3 б) показано, какая именно информация вычисляется при элиминации переменных.

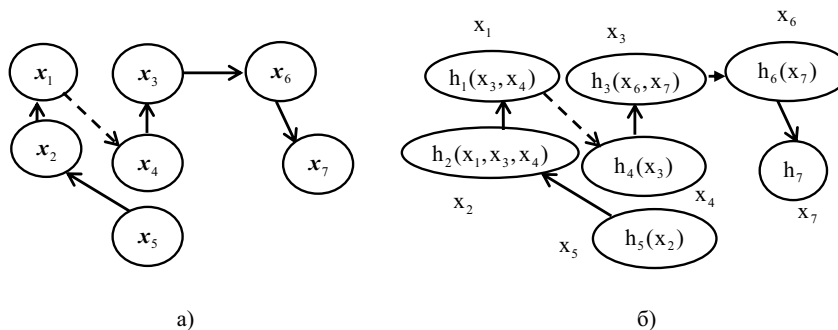


Рис. 3. а) Элиминационное дерево для задачи SAT;
б) Вычисление информации, соответствующее элиминации переменных.

4. Использование множеств достижимости для описания процесса вычисления информации с помощью ЛЭА

Выше процесс вычисления информации с помощью ЛЭА описывался в виде последовательности элиминационных графов

$$G^0 = G, G^1, \dots, G^n,$$

где $G^0 = G$, $G^i = (G^{i-1})_{x_i} = (X_i, E_i)$, $i = 2, \dots, n$. Здесь $X_i = \{x_{i+1}, \dots, x_n\}$. (см. рис. 2). Граф G^i отражает структуру дискретной задачи, оставшейся для решения после i -го шага ЛЭА.

ЛЭА вычисляет информацию, обрабатывая окрестности элементов в изменяющихся элиминационных графах (см. рис. 2). При изучении ЛЭА может быть полезно использование так называемых **множеств достижимости** (reachable sets) [24], являющихся обобщением обычной окрестности, что позволяет производить локальные вычисления на основе анализа исходного графа, а не элиминационных графов.

Определение 14. Пусть S — подмножество множества X вершин графа $G = (X, E)$ и $x \notin S$. Говорят, что вершина x **достижима** из вершины y **через** S , если существует путь y, s_1, \dots, s_k, x из y в x такой, что $s_i \in S$ для $i = 1, \dots, k$.

Замечание 1. В этом определении возможен случай $k = 0$, так что любая вершина, смежная y и не принадлежащая S , достижима из y через S .

Пример 1. Для графа G (рис. 2 а)) и $S = \{x_3, x_6\}$ вершины x_2, x_4, x_7 достижимы из x_1 через S .

Определение 15. Множество достижимости $Reach(y, S)$ вершины y через подмножество S определяется следующим образом:

$$Reach(y, S) = \{x \in X \setminus S \mid x \text{ достижима из вершины } y \text{ через } S\}.$$

Пример 2. Для графа G (рис. 2 а)) и $S = \{x_3, x_6\}$: $Reach(x_2, S) = \{x_1, x_4, x_5, x_7\}$.

Замечание 2. Понятие достижимости **симметрично**, т. е. для различных $x, y \in X \setminus S$ справедливо $x \in Reach(y, S) \iff y \in Reach(x, S)$.

Замечание 3. Понятие множества достижимости обобщает понятие окрестности, так как $Nb(y) = Reach(y, \emptyset)$.

Оказывается, что окрестность любой вершины элиминационного графа может быть легко найдена через некоторое множество достижимости исходного графа, что видно из следующей теоремы:

Теорема 3. ([24]) Для любой вершины y элиминационного графа $G^i = (X_i, E_i)$ окрестность $Nb_{G^i}(y)$ вершины y равна

$$Nb_{G^i}(y) = Reach(y, \{x_1, \dots, x_i\}),$$

где оператор достижимости $Reach$ применяется к исходному графу $G^0 = G$.

Другое важное свойство множеств достижимости позволяет найти множество ребер E_α^+ пополненного графа $G_\alpha^+ = (X, E_\alpha^+)$:

Теорема 4. ([24]) *Для пополненного графа $G_\alpha^+ = (X, E_\alpha^+)$:*

$$E_\alpha^+ = \{(x_i, x_j) \mid x_j \in \text{Reach}(x_i, \{x_1, \dots, x_{i-1}\})\},$$

где оператор достижимости Reach применяется к исходному графу $G^0 = G$.

Замечание 4. Эффективность работы ЛЭА существенно зависит от порядка, в котором элиминируются переменные. К сожалению, задача поиска наилучшего упорядочения (в смысле минимизации числа пополненных ребер) является NP -полной [31]. В связи с этим при поиске достаточно хорошего упорядочения вершин графа взаимосвязей целесообразно использовать эвристические алгоритмы, такие как "Minimum Degree" [16].

Замечание 5. Используя элиминационное дерево и бесконтурный оргграф вычислительной процедуры ЛЭА (см. рис. 3 б)), можно построить древовидную декомпозицию [12], [15] задачи ДО.

Заключение

Локальный элиминационный алгоритм вычисления информации — перспективный подход, делающий возможным решение прикладных дискретных разреженных задач оптимизации. Использование графовых структур позволяет рационально построить вычислительную схему локального алгоритма. *Перспективными направлениями* дальнейших исследований являются разработка эффективных схем локального элиминационного алгоритма и использование соответствующих графовых структур при решении конкретных задач дискретной оптимизации, обладающих специальной структурой.

Список цитируемых источников

1. *Евстигнеев В.А.* Применение теории графов в программировании. — М.: Наука, 1985. — 352 с.
2. *Евстигнеев В.А., Касьянов В.Н.* Толковый словарь по теории графов в информатике и программировании. — Новосибирск: Наука, 1999. — 288 с. (электронная версия словаря — <http://pco.iis.nsk.su/grapp>).
3. *Емеличев В.А., Мельников О.И., Сарванов В.И., Тышкевич Р.И.* Лекции по теории графов. — М.: Наука, 1990. — 384 с.
4. *Журавлев Ю.И.* Избранные научные труды. — М.: Магистр, 1998. — 420 с.
5. *Журавлев Ю.И., Лосев Г.Ф.* Окрестности в задачах дискретной математики // Кибернетика и системный анализ. — 1995. — №2. — С. 32–41.
6. *Леонтьев В.К.* Дискретная оптимизация // Журнал вычислительной математики и математической физики. — 2007. — 47. — С. 338–352.
7. *Свами М., Тхуласираман К.* Графы, сети и алгоритмы. — М.: Мир, 1984. — 455 с.

8. *Сергиенко И.В., Шило В.П.* Задачи дискретной оптимизации: проблемы, методы решения, исследования. — К.: Наукова думка, 2003. — 162 с.
9. *Щербина О.А.* О локальных алгоритмах решения задач дискретной оптимизации // Проблемы кибернетики. — 1983. — N 40. — P. 171–200.
10. *Щербина О.А.* О несериальной модификации локального алгоритма декомпозиции задач дискретной оптимизации // Динамические системы. — 2005. — Вып.19. — С. 179–190.
11. *Щербина О.А.* Элиминационные алгоритмы декомпозиции задач дискретной оптимизации // Таврический вестник информатики и математики. — 2006. — №2. — С. 28–41.
12. *Щербина О.А.* Локальные алгоритмы и древовидная декомпозиция для задач дискретной оптимизации // Динамические системы. — 2006. — Вып. 20. — С. 89–103.
13. *Щербина О.А.* Локальные элиминационные алгоритмы для задач удовлетворения ограничений // Таврический вестник информатики и математики. — 2007. — №1. — С. 24–39.
14. *Щербина О.А.* Методологические аспекты динамического программирования // Динамические системы. — 2007. — Вып. 22. — С. 21–36.
15. *Щербина О.А.* Локальные элиминационные алгоритмы решения разреженных дискретных задач // Журнал вычислительной математики и математической физики. — 2008. — том 48, N 1. — С. 161–177.
16. *Amestoy P.R., Davis T.A., Duff I.S.* An approximate minimum degree ordering algorithm // SIAM Journal on Matrix Analysis and Applications. — 1996. — V. 17, N.4. — P. 886–905.
17. *Arnborg S., Corneil D.G., Proskurowski A.* Complexity of finding embeddings in a k-tree // SIAM J. Alg. Disc. Meth. — 1987. — V.8. — P. 277–284.
18. *Beeri C., Fagin R., Maier D., Yannakakis M.* On the desirability of acyclic database schemes // J. ACM. — 1983. — V. 30. — P. 479–513.
19. *Bertele U., Brioschi F.* Nonserial Dynamic Programming. — New York: Academic Press, 1972. — 235 p.
20. *Blair J.R.S., Peyton B.W.* An introduction to chordal graphs and clique trees // Graph theory and sparse matrix computation / A. George et al. (eds.). — New York: Springer, 1993. — P. 1–29.
21. *Cook S.A.* The complexity of theorem-proving procedures // Proc. 3rd Ann. ACM Symp. on Theory of Computing Machinery. — New York, 1971. — P. 151–158.
22. *Courcelle B.* Graph rewriting: An algebraic and logic approach // Handbook of Theoretical Computer Science, Volume B /J. Van Leeuwen (ed.). — Amsterdam et al.: Elsevier, 1990. — P. 193–242.
23. *Dechter R.* Bucket elimination: A unifying framework for reasoning // Artificial Intelligence. — 1999. — V. 113. — P. 41–85.
24. *George A., Liu J.W.H.* Computer Solution of Large Sparse Positive Definite Systems. — Englewood Cliffs: Prentice-Hall Inc., 1981. — 324 p.
25. *Gu J., Purdom P.W., Franco J., Wah B.W.* Algorithms for the satisfiability (SAT) problem: A survey // Satisfiability Problem Theory and Applications /D. Du, J. Gu, and P.M. Pardalos (eds.). — Providence, RI: Amer. Math. Soc., 1997. — P. 19–153.

26. *Hicks I.V., Koster A.M.C.A., Kolotoglu E.* Branch and tree decomposition techniques for discrete optimization // *Tutorials in Operations Research*. — New Orleans: INFORMS, 2005. — P. 1–29. — [http://ie.tamu.edu/People/faculty/Hicks/bwtw .pdf](http://ie.tamu.edu/People/faculty/Hicks/bwtw.pdf)
27. *Liu J.W.H.* The role of elimination trees in sparse factorization // *SIAM Journal on Matrix Analysis and Applications*. — 1990. — V. 11. — P. 134–172.
28. *Parter S.* The use of linear graphs in Gauss elimination // *SIAM Review*. — 1961. — V. 3. — P. 119–130.
29. *Rose D.J.* A graph-theoretic study of the numerical solution of sparse positive definite systems of linear equations // *Graph Theory and Computing* /R.C. Read (ed.). — New York: Academic Press, 1972. — P. 183–217.
30. *Tarjan R.E.* Depth first search and linear graph algorithms // *SIAM J. Comput.* — 1972. — V. 1. — P. 146–160.
31. *Yannakakis M.* Computing the minimum fill-in is NP-complete // *SIAM J. Alg. Disc. Meth.* — 1981. — V. 2. — P. 77–79.

Получена 02.06.2008